



# БИООРГАНИЧЕСКАЯ ХИМИЯ

том 12 \* № 2 \* 1986

УДК 577.217.33 : 577.113.6

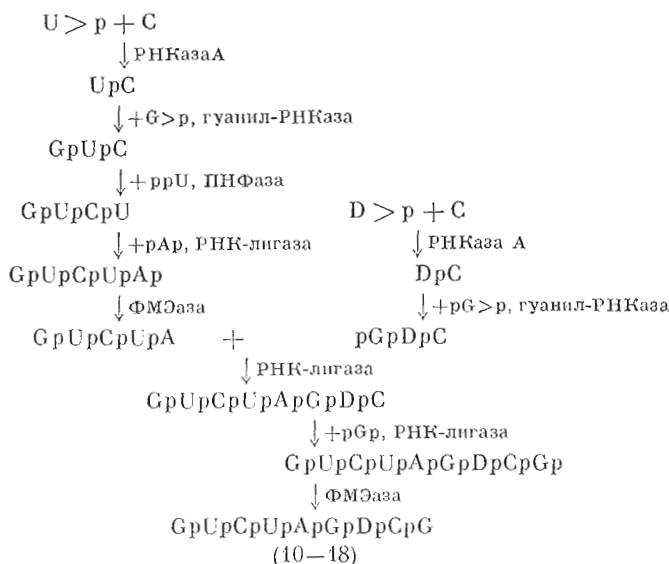
## СИНТЕЗ ФРАГМЕНТОВ *D*-ВЕТВИ ДРОЖЖЕВОЙ ВАЛИНОВОЙ тРНК<sub>1</sub> И ИХ АНАЛОГОВ

**Жеподарова С. М., Клягина В. П., Седельников В. А.,  
Смолянинова О. А.**

Институт биологической физики Академии наук СССР,  
г. Пущино Московской обл.

Синтезирован ионануклеотид GpUpCpUpApGpDpCpGp, соответствующий фрагменту 10–18 *D*-ветви (с заменой остатка иксевдоуридина-13 уридином) дрожжевой валиновой тРНК<sub>1</sub>. Изучено поведение производных дигидроуридина как субстратов рибонуклеаз различной специфичности и РНК-лигазы.

Продолжая исследования ферментативного синтеза олигорибонуклеотидов, соответствующих фрагментам дрожжевой валиновой тРНК<sub>1</sub> или их аналогам [1], мы предлагаем схему синтеза фрагмента *D*-ветви этой тРНК, в которой на разных стадиях используются такие ферменты нуклеинового обмена, как рибонуклеазы различной специфичности, полинуклеотидфосфорилазы, фосфомоноэстераза, полинуклеотидкиназа и РНК-лигаза (схема).



Характерная особенность этого фрагмента — наличие в его составе остатков дигидроуридина. Неустойчивость дигидроурацильного цикла, превращающегося в щелочной среде в β-уреидопропионовую кислоту, осложняет синтез олигонуклеотидов, содержащих дигидроуридин, и, по-видимому, является одной из главных причин, сдерживающих его развитие. С тех пор, как появились первые работы по химическому синтезу динуклеотидов, включающих дигидроуридин [2, 3], прошло более 10 лет, однако ситуация практически не изменилась. Недавно было опубликова-

Сокращения: ПНФаза — полинуклеотидфосфорилаза; остальные сокращения соответствуют общепринятым.

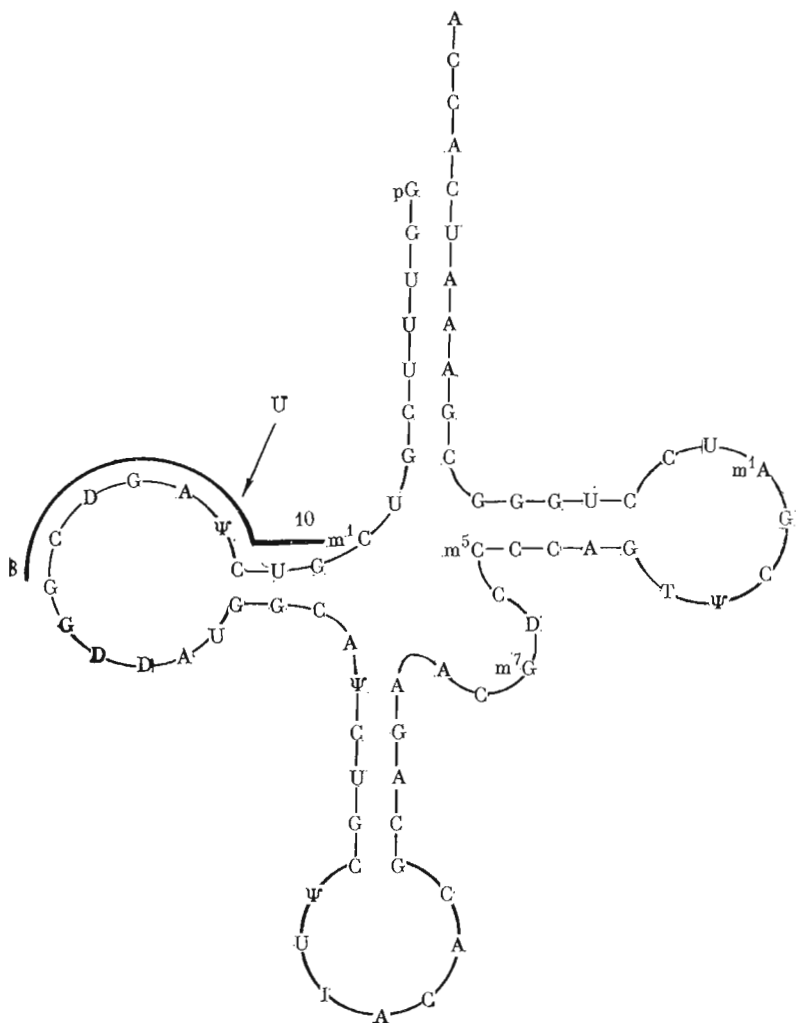


Рис. 1. Локализация фрагмента 10–18 в структуре дрожжевой валиновой тРНК<sub>t</sub>

по сообщение о синтезе полной молекулы дрожжевой аланиновой тРНК со всеми «минорными» нуклеозидами [4]. В частности, был синтезирован nonануклеотид ApGpDpCpGpGpDpApG [5], но сведения о схеме синтеза, условиях его проведения и т. п. приведены не были.

В настоящей работе мы сообщаем результаты реализации предложенной выше схемы: синтез нонапарубонуклеотидного фрагмента 10–18, который содержит один дигидроуридиновый остаток ( $D^{16}$ ) и в котором псевдоуридин-13 заменен уридином. Локализация этого олигонуклеотида в дрожжевой валиновой тРНК, показана на рис. 1, а последовательность ферментативных реакций, приводящая к его получению, представлена на схеме.

Первая стадия синтеза — получение исходных динуклеотидных блоков UpC и DpC. Препаративный синтез UpC может быть проведен с высоким выходом в присутствии панкреатической рибонуклеазы [6]. Производные дигидроуридина, как было показано нами ранее [7], также могут быть субстратами (как донорами, так и акцепторами фосфата) в реакциях, катализируемых панкреатической рибонуклеазой и гуанилспецифичной рибонуклеазой  $T_1$ . Прежде чем приступить к препаративному синтезу DpC, мы изучили синтез этого динуклеозидмонофосфата в присутствии малоспецифичной рибонуклеазы *Penicillium brevicompactum* ( $Pb_2$ ). Оказалось, что и этот фермент катализирует образование динуклеозидмонофосфата из  $D>p$  и  $C$  (рис. 2), но реакция идет медленнее, чем образование

UpC в тех же условиях, и значительно медленнее, чем с панкреатической рибонуклеазой. Поэтому для препаративного получения DpC разумнее использовать панкреатическую рибонуклеазу.

При более детальном изучении поведения дигидроуридин-2',3'-циклофосфата в реакциях с участием панкреатической рибонуклеазы мы нашли, что выход DpC сильно колеблется в различных опытах и может

быть значительно выше приводимого нами ранее [7]. Мы полагаем, что эти колебания скорее всего связаны с различной чистотой D>p, получаемого из неодинаковых по составу коммерческих образцов дигидроуридиловой кислоты, вероятно, разлагающейся при хранении с разрушением гетероцикла. Действительно, если настичь на бумагу различные препараты дигидроуридиловой кислоты и обработать их *n*-диметиламинонитропропионом [8], то желтое окрашивание различной степени интенсивности развивается в месте локализации дигидроуридиловой кислоты без предварительной обработки ее щелочью. Из-за нестабильности дигидроурацильного кольца пока не удалось найти условия для разделения дигидроуридиловой кислоты и рибозилфосфата  $\beta$ -уреидопропионовой

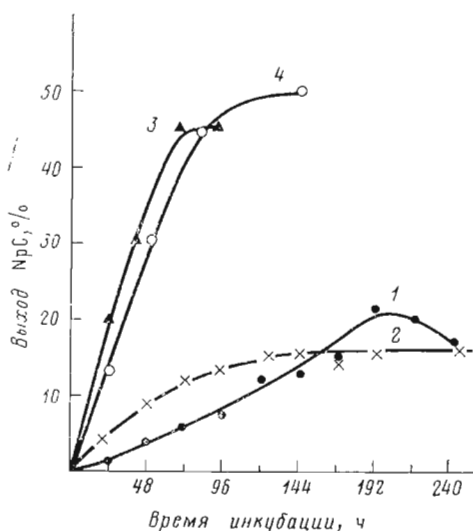


Рис. 2. Синтез DpC (1, 3) и UpC (2, 4), катализируемый рибонуклеазами Pb<sub>2</sub> при 0°С (1, 2) и панкреатической при -18°С (3, 4)

кислоты. Поэтому выход DpC в реакции с участием панкреатической рибонуклеазы может служить косвенным критерием чистоты препарата D>p.

Принимая во внимание вышесказанное и предварительные результаты [7], мы провели синтез DpC из одного и того же препарата D>p, варьируя начальную концентрацию цитидина и температуру (табл. 1). С повышением концентрации цитидина выход DpC растет, при проведении синтеза в замороженном состоянии выход продукта достигает 47%. Исследование зависимости выхода UpC от времени (рис. 2, 3) показало, что при -18°С «равновесная» концентрация UpC, соответствующая выходу 47% (для данного препарата D>p), в реакционной смеси устанавливается примерно через 3 сут. Поэтому DpC в препаративном масштабе получали при 8–10-кратном избытке цитидина, оставляя смесь субстратов и фермента в замороженном состоянии на 64–72 ч. При выделении DpC из реакционной смеси следует помнить о нестабильности дигидроурацильного кольца и проводить все операции при нейтральном значении pH.

Тринуклеозиддифосфаты, содержащие дигидроуридин, были синтезированы ранее в присутствии рибонуклеазы T<sub>1</sub> [2, 6], но выходы GpDpU, GpUpD и GpDpI составляли 1–2% [2], а выход GpDpC ~5% [7]. В настоящей работе для синтеза тринуклеозиддифосфата GpDpC, соответствующего фрагменту 15–17 в структуре tRN<sub>1</sub><sup>Val</sup>, и его аналога GpUpC (фрагмент 10–12) были использованы гуапилспецифичные рибонуклеазы *Aspergillus clavatus* (C<sub>2</sub>) и *Bacillus intermedius* (Bi), как пативные, так и ковалентно связанные с полимерными подложками (табл. 2). Во всех случаях удалось получить значительно более высокие выходы тринуклеотидов. Наиболее эффективным оказался препарат рибонуклеазы Bi, связанный с СМ-целлюлозой [9].

Таким образом, рибонуклеазы различной специфичности (панкреатическая, C<sub>2</sub>, Bi) являются достаточно эффективными катализаторами для получения ди- и тринуклеотидных блоков, включающих дигидроуридин.

Таблица 1

**Синтез DpC, катализируемый панкреатической рибонуклеазой**  
 $[D>p]=0,08 \text{ M}$ ;  $[РНКаза]=200 \text{ мкг/мл}$

$\frac{[G]}{[D>p]}$	Температура, °C	Время, ч	Выход DpC, %
3	0	18	16
8	0	18	29
8	-18	64	47

Таблица 2

**Синтез GpUpC, GpDpC и pGpDpC, катализируемый гуанилспецифичными рибонуклеазами**

Донор	Концентрация донора, М	$\frac{[Акцептор]}{[донар]}$	Фермент *	[E]	Время, ч	Выход, %
GpUpC	0,02	5	C <sub>2</sub>	6 ед. акт./мл	5	20
	0,1	8	Sil-C <sub>2</sub>	75 мг/мл	22	34
	0,08	10	CM-Bi	7,5 »	24	53
	0,02	10	CM-T <sub>1</sub>	10 »	22	25
GpDpC	0,04	5	C <sub>2</sub>	6 ед. акт./мл	18	14
	0,1	7	CM-Bi	10 мг/мл	24	30
pGpDpC	0,02	5	C <sub>2</sub>	6 ед. акт./мл	9	12
	0,1	8	CM-Bi	10 мг/мл	24	26

\* C<sub>2</sub> — гуанилрибонуклеаза *Asp. clavatus*; единица активности соответствует количеству фермента, способному расщепить 1 мкмоль G>p за 30 мин при 37° С и pH 7,5. Sil-C<sub>2</sub>—C<sub>2</sub>, ковалентно связанный с неорганическим сорбентом типа силохром, CM-Bi, CM-T<sub>1</sub> — гуанилрибонуклеазы *Bac. intermedius* и T<sub>1</sub>, ковалентно связанные с CM-целлюлозой соответственно.

Таблица 3

**Синтез фрагментов 10–14, 15–18, 10–17, 10–18 и их аналогов**

в присутствии РНК-лигазы

Начальная концентрация донора фосфата ~1 мМ

Акцептор фосфата	Донор фосфата	Акцептор Донор	РНК-лигаза, ед. акт./мл	Выход		Возврат акцепто- ра, %
				мкмоль	%	
GpUpC	pGp	1/2,5	1000	0,52	30	25
GpDpC	pGp	1/3	1000	0,01	10	64
GpDpC	pGp	1/3	3000	0,07	15	57
GpUpCpU	pAp	1/3	500	2,30	59	30
GpUpCpUpA	pGpDpC	2/1	500	0,30	25	60
GpUpCpUpApGpDpC	pGp	1/5	500	0,02	10	64

Чтобы проверить влияние дигидроуридинового остатка на эффективность межмолекулярного лигирования при участии РНК-лигазы, мы провели синтез GpDpCpGp из GpDpC и pGp, моделируя тем самым предпоследнюю стадию получения фрагмента 10–18 (схема). Тетрануклеотид GpDpCpGp был выделен с выходом ~15% (табл. 3). «Сшивка» GpUpC и pGp проходит с более высоким выходом (30%). Таким образом, дигидроуридин, заменивший уридин в акцепторе фосфата, снижает эффективность последнего в РНК-лигазной реакции; ранее приводившиеся данные [1] были получены на менее очищенном препарате РНК-лигазы.

В соответствии со схемой мы синтезировали аналог фрагмента 10–13 GpUpCpU, заменив остаток псевдоуридина-13 уридином. Синтез проводили, используя GpUpC и ppU в качестве субстратов полинуклеотидфосфорилазы *Micrococcus luteus*, в стандартных условиях [10]. Выход тетрануклеозидтрифосфата составлял 12–13%. Реакционная смесь, как правило, содержала пентануклеотид (~4%) и практически не содержала

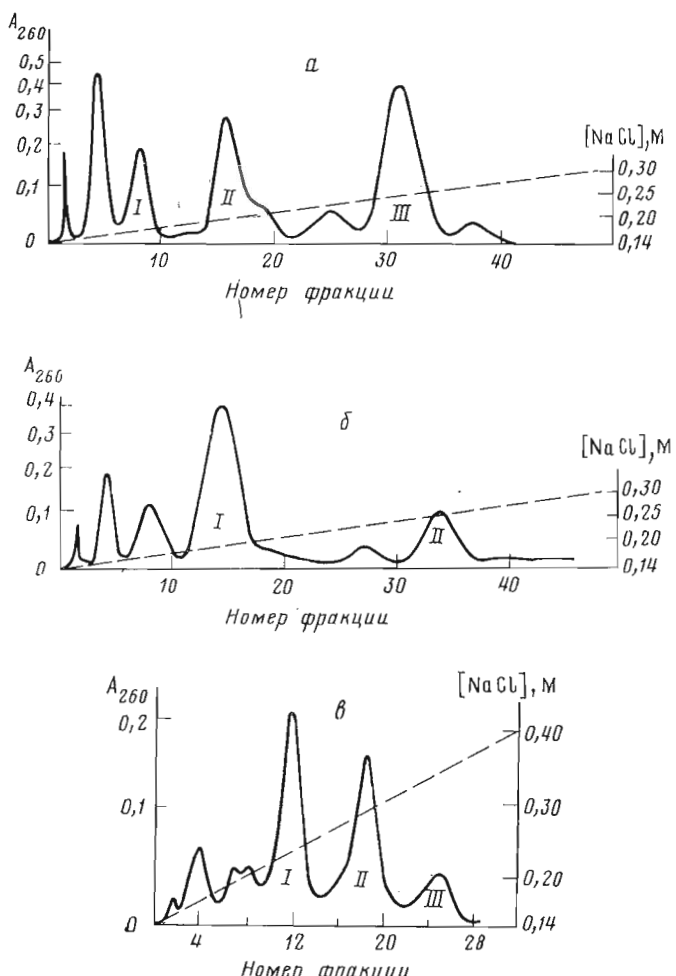


Рис. 3. Разделение реакционных смесей, полученных в синтезе ионануклеотида **в** присутствии РНК-лигазы на DEAE-сепадексе в системе Томлинсона — Тенера (для *a* и *b* колонка 0,9×22 см, скорость элюции 17 мл/ч, время элюции 24 ч; для *c* — колонка 0,9×8 см, скорость элюции 22 мл/ч, время 8 ч). *a* — GpUpCpU+pAp: I — GpUpCpU; II — pAp; III — GpUpCpUpAp; *b* — GpUpCpUpA+pGpDpC: I — GpUpCpUpA; II — GpUpCpUpApGpDpC; *c* — GpUpCpUpApGpDpC+pGp: I — pGp; II — GpUpCpUpApG·pDpC; III — GpUpCpUpApGpDpCpGp

более длинных олигонуклеотидов. Около 50% исходного GpUpC удавалось регенерировать.

Присоединение следующего нуклеотида — остатка адениловой кислоты — проводили с помощью РНК-лигазы (табл. 3). В литературе описано присоединение рАр к олигоуридилатам, начиная с тримера и кончая пентамером, но если в работе [11] выход продукта составлял 13—19%, то в работе [12] сообщалось, что продукт присоединения рАр к тетрауридилату обнаружен не был. Известно также, что рАр присоединяется к тринуклеозиддифосфатам с уридином на 3'-конце с различной степенью эффективности [13]. В нашем случае сшивка рАр с тетрануклеотидным акцептором, имеющим уридин на 3'-конце, проходила с выходом 59%.

Результат хроматографического разделения реакционной смеси после проведения сшивки GpUpCpU и рАр представлен на рис. 3а. Для идентификации соединений, содержащихся в пиках, соответствующие пробы были обработаны щелочной фосфатазой из *E. coli* и продукты дефосфорилирования исследованы методом микроколоночной хроматографии на DEAE-целлюлозе с последующим гидролизом неспецифичной рибонуклеазой Рb<sub>2</sub> и анализом гидролизатов на дауэксе 1. Полученные результаты показали, что основной продукт реакции — GpUpCpUpAp — содержит

Таблица 4

## Определение нуклеотидного состава синтезированных олигорибонуклеотидов

Олигонуклеотид	Фермент	Продукты гидролиза
DpC	Панкреатическая РНКаза	Dp : C=1 : 1
UpC	То же	Up : C=1 : 1
GpUpC	»	GpUp : C=1 : 1,1
GpDpC	РНКаза Pb <sub>2</sub>	Gp : C=1 : 1
pGpDpC	»	pGp : Dp : C=1 : 1 : 1,1
GpUpCpUpAp	Щелочная фосфатаза <i>E. coli</i>	GpUpCpUpA
GpUpCpUpA	РНКаза Pb <sub>2</sub>	Gp : Up : Cp : A=1 : 2 : 1,1 : 1
GpUpCpUpApGpDpC	Панкреатическая РНКаза	GpUp : ApGpDp=1,2 : 1 *
GpUpCpUpApGpDpC	Панкреатическая РНКаза + щелочная фосфатаза <i>E. coli</i>	Up : Cp : C=1 : 1,1 : 1,1 **
		GpU : ApGpD=1,1 : 1

\* Гидролизат анализировали на микроколонке с DEAE-целлюлозой в системе Томлинсона — Тенера.

\*\* Гидролизат анализировали на дааэксе 1 (см. «Экспер. часть»).

жится в пике III, а исходные субстраты GpUpCpU и pAp — в пиках I и II соответственно. Таким образом, в нашем случае лигирование протекает с довольно высоким выходом, почти втрое превышающим выход, который удалось получить при сшивке pAp с тринуклеозидифосфатом UpCpU [14]. Следовательно, переход от тринуклеотидного акцептора к тетрануклеотидному, в котором три нуклеотидных остатка с 3'-конца совпадают с последовательностью тринуклеотида, сопровождается увеличением выхода в РНК-лигазной реакции. Этот результат не согласуется с данными, которые были получены нами и другими авторами при значительном увеличении размера акцептора, в частности при переходе от три- к гексануклеотиду [15], от гекса- к nonануклеотиду [15], от гекса- к ундекануклеотиду [16], когда выход уменьшался [15, 16] или оставался на том же уровне [15]. По-видимому, не исключено, что для РНК-лигазы существует некоторое оптимальное отношение размеров сшиваемых субстратов, однако экспериментальных данных пока слишком мало даже для этого предположения.

После обработки GpUpCpUpAp щелочной фосфатазой *E. coli* получили GpUpCpUpA, который в качестве акцептора фосфата использовали в синтезе октануклеозидгептафосфата GpUpCpUpApGpDpC (табл. 3). Сшивку GpUpCpUpA и pGpDpC РНК-лигазой проводили при 2-кратном избытке акцептора. Октануклеотид образуется с выходом ~20–25%, при этом 60–64% акцептора удается регенерировать. В литературе нет примеров, с которыми можно было бы сравнивать полученный результат. При соединение остатка гуаниловой кислоты к 3'-концевому аденоzinу акцептора описано лишь в работе [12], где с выходом 30% проведено лигирование pGp и триаденилата. Принимая во внимание существенные различия в размерах и составе субстратов, можно предположить, что последние мало влияют на результат лигирования в рассматриваемом нами случае, однако этот вывод следует считать весьма предварительным.

Таким образом, тринуклеотид, содержащий остаток дигидроуридина в среднем положении, может быть как акцептором, так и донором фосфата в РНК-лигазной реакции (табл. 3), т. е. присутствие дигидроуридина вблизи 3'-конца акцептора или 5'-конца донора не мешает ферменту.

Наконец, синтез аналога фрагмента 10–18 был завершен присоединением остатка гуаниловой кислоты к октануклеотиду GpUpCpUpApGpDpC с помощью РНК-лигазы с последующим дефосфорилированием продукта лигирования. Значительное увеличение размера акцептора по сравнению с модельной реакцией GpDpC+pGp при одинаковой структуре 3'-конца участвующего в реакции акцептора несколько уменьшает выход продукта, что совпадает с ранее упоминавшимися наблюдениями [15, 16], но не исключено, что при оптимизации условий последнего лигирования удастся получить и более высокий выход nonануклеотида.

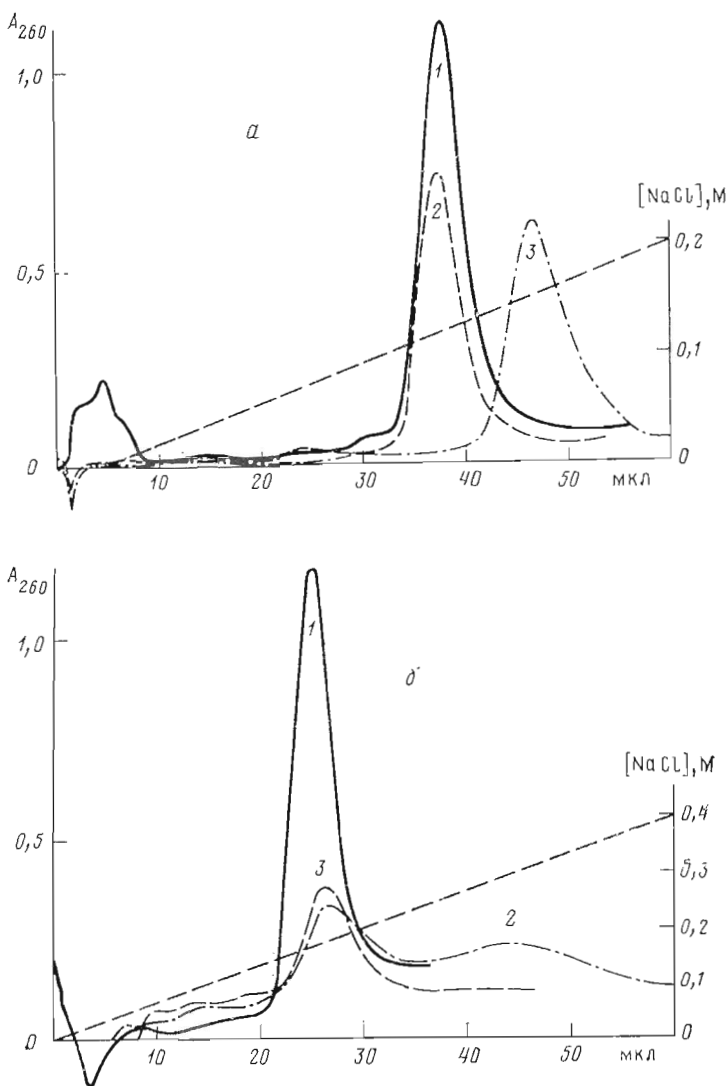


Рис. 4. Микроколоочная хроматография олигонуклеотидов на DEAE-целлюлозе в градиенте концентрации NaCl в 7 М мочевине (колонка 1,2×50 мм, скорость элюции 600 мкл/ч, запись на МСФП-1): а — GpUpCpUpA<sup>+</sup> (1), pGpDpC (2), GpUpCpUpApGpDpC (3); б — GpUpCpUpApGpDpC (1), GpUpGpUpApGpDpCpGp+GpUpCp·UpApGpDpCpG (2), GpUpCpUpApGpDpCpG (3).

Идентификацию продуктов олигонуклеотидного синтеза проводили после проверки их гомогенности (рис. 4) стандартными способами. Олигонуклеотиды расщепляли рибонуклеазами разной специфичности. Продукты гидролиза в случае коротких олигонуклеотидов разделяли хроматографией на бумаге с последующим УФ-спектрофотометрированием. В случае пента- и октануклеотидов гидролизаты анализировали на микроколонках с DEAE-целлюлозой в системе Томлинсона — Тенера и с дауэксом 1 в градиенте (0—0.25 М) NH<sub>4</sub>Cl (рН 10) с 20% спиртом. Полученные результаты соответствовали расчетным данным (табл. 4).

### Экспериментальная часть

В работе использовали цитидин, уридин, натриевые соли 2'(3')-фосфата уридулина, UDP и ATP, панкреатическую рибонуклеазу (Reanal, Венгрия), циклогексилгуанидиневые соли U>r и G>r, калиевую соль дигидроуридин-2'(3')-фосфата, полинуклеотидфосфорилазу *M. luteus* (Cal-

biochem, США), мета-*n*-толуолсульфонат N-циклогексил-N'-(2-морфолиноэтил)-карбодинимида (ЦГМК), дитиоэритрит (Serva, ФРГ), сефадексы G-10, G-15; DEAE-сефадекс А-25 (Pharmacia, Швеция).

2'(3'),5'-Дифосфаты аденоцина и гуанозина и соответствующие 5'-фосфорилюкелеозид-2',3'-циклофосфаты синтезировали как описано в работе [17]. 2',3'-Циклофосфат дигидроуридин был получен с выходом ~90% циклизацией дигидроуридиловой кислоты в присутствии ЦГМК при автоматическом контроле pH реакционной смеси (5,0–5,5). Циклогексилгуанидиневые соли U>r и G>r превращали в аммониевые обработкой дауэксом 50W ( $\text{NH}_4^+$ -форма).

Гуанилспецифичная рибонуклеаза *Vac. intermedius* (КФ 3.1.27.3) была выделена Ф. Р. Шариповой (Казанский университет) и иммобилизована, как описано в работе [9]. Гуанилспецифичная рибонуклеаза *Asp. clavatus* (C<sub>2</sub>) (КФ 3.1.27.3) и неспецифичная рибонуклеаза *Pen. brevicompactum* (КФ 3.1.27.1) получены от С. И. Безбородовой (ВНИИ генетики и селекции промышленных микроорганизмов, Москва), РНК-лигаза T4 (КФ 6.5.1.3) — от П. М. Пустошиловой (НИКТИ БАВ, г. Бердск) и М. И. Болезаша, а щелочная фосфатаза *E. coli* (КФ 3.1.3.1) — от Р. Ф. Ренхоф (ИОС АН ЛатвССР, Рига). Препарат РНКазы C<sub>2</sub>, ковалентно связанной с неорганическим сорбентом типа «Силюхром», был приготовлен Л. А. Орна (НПО «Биохимреактив», г. Олайне) [18].

Хроматографию и электрофорез на бумаге, микроколоночную хроматографию и УФ-спектрофотометрию проводили так, как в работе [19]. Идентификация производных дигидроуридила и измерение концентрации этих производных подробно описаны нами ранее [7]. Гидролиз олигонуклеотидов и анализ гидролизатов осуществляли в соответствии с работой [20]. Нуклеотидный состав CpUpCpUpA после гидролиза пентануклеотида рибонуклеазой Pb<sub>2</sub> определяли по [21]. Октануклеотид GpUpCpUpApGpDpC расщепляли панкреатической рибонуклеазой и анализировали гидролизат, содержащий GpUp, Cp, Up, ApGpDp и C, на микрколонках с DEAE-целлюзой в системе Томлинсона — Тенера и на колонках с дауэксом 1 по [21].

**Синтез динуклеозидмонофосфатов DpC и UpC в присутствии рибонуклеаз.** а) Рибонуклеаза Pb<sub>2</sub>: нуклеозид-2',3'-циклофосфат (D>r или U>r) и цитидин (начальные концентрации 0,25 и 0,75 М соответственно) растворяли в 0,2 М фосфатном буфере, pH 7,0, содержащем 20 ед. акт./мл рибонуклеазы Pb<sub>2</sub>, и инкубировали раствор при ~0° С. Через определенные промежутки времени отбирали пробы из реакционной смеси и анализировали их с помощью электрофореза на бумаге и УФ-спектрофотометрии (см. рис. 2).

б) Панкреатическая рибонуклеаза: D>r или U>r и цитидин (начальная концентрация 0,08 и 0,64 М соответственно) растворяли в 0,05 М трис-HCl-буфере, pH 7,5, содержащем 160–200 мкг/мл панкреатической рибонуклеазы. Полученный раствор инкубировали при ~0° С или замораживали в смеси «сухой лед» — ацетон и оставляли при –18° С. Обычно объем реакционной смеси составлял ~0,3 мл. Некоторые изменения концентрации цитидина при оптимизации синтеза DpC приведены в табл. 1. Через определенные промежутки времени пробы, взятые из реакционной смеси, или всю смесь (при проведении синтеза в замороженном состоянии) делили методом электрофореза на бумаге, а полученный динуклеозидмонофосфат дополнительно очищали гель-фильтрацией на сефадексе G-10 (см. табл. 1 и рис. 2).

Препаративный синтез UpC проводили, используя рекомендации работы [6] с некоторыми модификациями. Стандартная реакционная смесь содержала 250 мкмоль U>r, 2 ммоль цитидина и 800 мкг панкреатической рибонуклеазы в 4 мл трис-HCl-буфера, pH 7,5. Через 24 ч инкубации в замороженном состоянии и после разделения на дауэксе 50W ( $\text{NH}_4^+$ -форма) получили ~160 мкмоль UpC (64%).

Тринуклеотиды GpUpC, GpDpC и pGpDpC получали, инкубируя раствор G>r или pG>r и динуклеозидмонофосфата (UpC или DpC) с гу-

анилспецифичными рибонуклеазами С<sub>2</sub>, Sil-С<sub>2</sub>, СМ-Т, [22] или СМ-Ві. Начальные концентрации субстратов и ферментов, продолжительность инкубирования и результаты приведены в табл. 2. Стандартный объем реакционной смеси — 0,1 мл (аналитический вариант) и до 1 мл (препартивный вариант). Буферные растворы: 0,01 М фосфатный буфер, pH 7,0 (рибонуклеазы Sil-С<sub>2</sub>, СМ-Т); 0,01 М фосфатный буфер, pH 7,5 (рибонуклеаза С<sub>2</sub>); 0,1 М трис-HCl-буфер, pH 7,5 (рибонуклеаза СМ-Ві). Реакционные смеси делили препартивной хроматографией на бумаге FN-2 в системе этанол — пропанол-2 — конц. аммиак — вода (60:5:10:25) и дополнительно очищали тринуклеотид электрофорезом в 0,05 М растворе бикарбоната триэтиламмония, pH 7,6, обессоливая затем тринуклеотид гель-фильтрацией на сефадексе G-10.

*Синтез GpUpCpU* из GpUpC и ppU в присутствии ПНФазы *M. luteus* проводили в разработанных нами ранее условиях [10].

*Синтезы олигонуклеотидов с участием РНК-лигазы T4* и разделение реакционных смесей осуществляли в условиях, подробно описанных в работе [18] (см. табл. 3 и рис. 3).

*Дефосфорилирование олигонуклеотидов.* 100 ОЕ<sub>260</sub> олигонуклеотида с концевым фосфатом растворяли в 0,85 мл 0,1 М трис-HCl-буфера, pH 8,0, содержащего 0,01 М MgCl<sub>2</sub>, добавляли 0,15 мл раствора щелочной фосфатазы *E. coli* (1 мг/мл; 1 мг расщепляет 92,5 мкмоль *n*-нитрофенилфосфата за 10 мин при 37° С) и выдерживали 3–6 ч при 37° С. За ходом реакции следили с помощью электрофореза на бумаге в 0,05 М трис-HCl-буфере, pH 7,6, или микроколоночной хроматографии на DEAE-целлюлозе в системе Томлинсона — Тенера. В случае неполного дефосфорилирования добавляли свежую порцию фермента. По окончании дефосфорилирования гидролизат хроматографировали на бумаге в системе этанол — пропанол-2 — конц. аммиак — вода, 60:5:10:25 (короткие олигонуклеотиды), или пропанол-1 — конц. аммиак — вода, 5:1:4 (длинные олигонуклеотиды).

Авторы приносят сердечную благодарность С. И. Безбородовой, Н. М. Пустошиловой, Ф. Р. Шариповой, Р. Ф. Рейхоф и М. И. Болезнину за ферментные препараты.

## ЛИТЕРАТУРА

- Женодарова С. М., Клягина В. П., Седельникова Э. А., Хабарова М. И. Молекулярная биология, 1984, т. 18, № 5, с. 1181–1193.
- Smrt J. Collect. Czech. Chem. Commun. 1967, v. 32, № 1, p. 198–205.
- Formoso C., Tinoco I. Biopolymers, 1971, v. 10, № 9, p. 1533–1541.
- Wang D., Zheng K., Qiu M., Liang Zh., Wu R., Chen Ch., Wang E., Zhu Y., Shen Q., Yu Y., Wang Y., Chen H., Yang Z., Lu Y., Chen Sh., Wang G., Hu M. Scientia Sinica (Ser. B), 1983, v. 26, № 5, p. 464–481.
- Wang D., Wu R., Zheng K., Yu D., Tang J., Qi G., Chen Ch., Zhu Y., Xie H., Wang Y., Nie H., Chen Sh., Huang J., Chen D., Zhuang J., Wang G., Chen H. Scientia Sinica (Ser. B), 1983, v. 26, № 5, p. 496–503.
- Кавуненко А. П., Калачева Т. С., Тихомирова-Сидорова Н. С. Биохимия, 1974, т. 39, № 4, с. 839–844.
- Женодарова С. М., Клягина В. П., Смолянинова О. А. Биоорган. химия, 1975, т. 1, № 6, с. 769–773.
- Fink L. M., Cline R. E., McGanghey C., Fink K. Analyt. Chem., 1956, v. 28, № 1, p. 4–7.
- Шарипова Ф. Р., Балабан Н. П., Рязанов С. М., Лещинская Н. Б., Хабарова М. И., Женодарова С. М. Биоорган. химия, 1983, т. 9, № 4, с. 505–510.
- Женодарова С. М., Клягина В. П., Смолянинова О. А. Биоорган. химия, 1980, т. 6, № 10, с. 1505–1515.
- England T., Uhlenbeck O. Biochemistry, 1978, v. 17, № 11, p. 2069–2076.
- Kikuchi Y., Hishinuma F., Sakaguchi K. Proc. Nat. Acad. Sci. USA, 1978, v. 75, № 3, p. 1270–1273.
- Romanuk E., McLaughlin L. W., Neilson T., Romanuk P. J. Eur. J. Biochem., 1982, v. 125, № 3, p. 639–643.
- Майстренко В. Ф., Пустошилова Н. М., Клягина В. П., Седельникова Э. А., Смолянинова О. А., Женодарова С. М. Биоорган. химия, 1984, т. 10, № 4, с. 498–505.
- Женодарова С. М., Клягина В. П., Седельникова Э. А., Смолянинова О. А., Хабарова М. И., Белова Е. Н., Манькин А. С. Биоорган. химия, 1983, т. 9, № 10, с. 1382–1387.

16. Ohtsuka E., Nishikawa S., Markham A. F., Tanaka S., Miyake T., Wakabayashi T., Ikebara M., Sugiura M. Biochemistry, 1978, v. 17, № 23, p. 4894–4899.
17. Женодарова С. М., Седельникова Э. А., Смолянинова О. А., Хабарова М. И., Антонович Е. Г. Биоорганическая химия, 1980, т. 6, № 10, с. 1516–1521.
18. Варламов В. П., Рогожин С. В., Орна Л. А., Безбородова С. Н. Тез. докл. 5 Всесоюз. конф. по инженерной энзимологии, 1985, Кобулети, с. 254.
19. Женодарова С. М., Клягина В. П., Седельникова Э. А., Смолянинова О. А., Хабарова М. И., Майстренко В. Ф., Пустошилова Н. М. Биоорганическая химия, 1981, т. 7, № 4, с. 524–533.
20. Женодарова С. М., Клягина В. П., Смолянинова О. А., Хабарова М. И., Антонович Е. Г., Прокопьев М. А. Биоорганическая химия, 1975, т. 1, № 5, с. 604–610.
21. Asteriadis G. T., Armbruster M. A., Gilham P. T. Anal. Biochem., 1976, v. 70, № 1, p. 64–74.
22. Соболева Н. А., Хабарова М. И., Женодарова С. М. Биоорганическая химия, 1985, т. 11, № 4, с. 508–515.

Поступила в редакцию  
21.VI.1985

## THE SYNTHESIS OF THE D-ARM FRAGMENTS OF YEAST $tRNA_1^{Val}$ AND THEIR ANALOGUES

ZHENODAROVA S. M., KLYAGINA V. P., SEDELNIKOVA E. A., SMOLYANINOVA O. A.

*Institute of Biological Physics, Academy of Sciences of the USSR,  
Pushchino, Moscow Region*

Nonanucleotide GpUpCpUpApGpDpCpGp corresponding to the fragment 10–18 of the yeast  $tRNA_1^{Val}$  with pseudouridine-13 replaced by uridine has been synthesized. Dihydrouridine derivatives were studied as substrates of ribonucleases with various specificity and of RNA ligase.